

Министерство высшего и среднего специального образования
Р С Ф С Р
Горьковский ордена Трудового Красного Знамени
научно-исследовательский радиофизический институт(НИРФИ)

*Абакумов И.А.
Шерешевский И.А.
Шереткина Е.В.*

Препринт № 215

**ТОНКАЯ СТРУКТУРА ДИСПЕРСИОННЫХ КРИВЫХ
ДЛЯ ВОЛН В СЛОИСТОЙ СРЕДЕ**

Горький 1986

Введение

I. Волны, возбужденные источником в слоистой среде, описываются решением $u(t, r)$ волнового уравнения

$$u_{tt} - c^2(z) \Delta u = f(t, z) e^{-i\Omega t}, \quad t \geq 0, \quad (I)$$

$$u(0, r) = u_t(0, r) = 0, \quad r = (x, y, z).$$

Если источник локализован, то на больших расстояниях от него решение задачи (I) можно приближенно представить в виде

$$u(t, r) \approx e^{i\frac{\pi}{4}} \int \int d\omega dr \sum_{l=1}^{N(\omega)} \sqrt{2\pi/\kappa_l(\omega)|r_\perp - r'_\perp|} \times \\ \times \varphi_l(\omega, z) \varphi_l(\omega, z') e^{ik_l(\omega)|r_\perp - r'_\perp| - i\omega t} \hat{f}(\omega - \Omega, r), \quad (2)$$

$$\text{где } \hat{f}(\omega) = \int f(t, r) e^{i\omega t} dt, \quad r_\perp = (x, y),$$

$\varphi_l(\omega, z)$ – нормированная собственная функция, $\kappa_l^2(\omega)$ – соответствующее ей собственное значение стационарного уравнения Шредингера,

$$\varphi_l'' + \frac{\omega^2}{c^2(z)} \varphi_l = \kappa_l^2(\omega) \varphi_l, \quad (3)$$

с соответствующими граничными условиями, $N(\omega)$ – число изолированных положительных собственных значений этого уравнения (см., например, [I,2]). Функция $\kappa_l(\omega)$ называется законом дисперсии l -й нормальной волны (дисперсионной кривой). Как видно из (2), закон

дисперсии в значительной степени определяет структуру поля $u(t, r_1)$ при больших $|r_1|$. При этом весьма существенно влияние таких особенностей кривой $K_1(\omega)$, как экстремумы ее первой производной. Так, например, для кусочно-постоянного профиля $C^2(z)$ (модель Пекериса) каждая из кривых $dK_1/d\omega$ обладает экстремумами. Анализ влияния этих экстремумов на распространение волн см. в [1,2].

В [2] отмечено, что в многослойной среде с кусочно-постоянным профилем $C(z)$ число экстремумов на кривых групповой скорости может быть сколь угодно велико. Наличие нескольких локальных экстремумов на кривых групповой скорости для кусочно-линейного профиля видно на графиках, приведенных в работе [3].

В предлагаемой работе показано, что при наличии больших вариаций градиента в гладком профиле $C(z)$, в поведении дисперсионных кривых $K_1(\omega)$ могут возникать характерные особенности, а именно, локальные экстремумы и нули производных функций $K_1(\omega)$ по параметру ω . Эти особенности отсутствуют при вычислении дисперсионных кривых в приближении ВКБ и поэтому естественно называть их тонкой структурой дисперсионных кривых.

Тонкая структура дисперсионных кривых была обнаружена при численном решении задачи (1) для некоторых модельных $C(z)$.

2. Прежде, чем перейти к описанию численных результатов, приведем некоторые априорные оценки функций $K_1(\omega)$ и $dK_1/d\omega$. Мы будем рассматривать задачу (3) в полупространстве $z > 0$ с граничным условием $u(t, r_1, 0) = 0$, предполагая, что $C(z) = C_\infty$ при $z > H$ и $C_{\min} = \inf C(z)$, $C_{\max} = \sup C(z)$ отличны от нуля и от бесконечности.

Изучение кривых $K_1(\omega)$, по существу, сводится к известной в квантовой механике задаче изучения зависимости энергетических

уровней от константы связи (см., например, [4,6]).

Используя обычные в теории уравнения Шредингера вариационные методы, можно показать, что фазовая скорость $v_l(\omega) = \omega/\kappa_l(\omega)$ l -й нормальной волны и соответствующая групповая скорость $w_l(\omega) = (d\kappa_l/d\omega)^{-1}$ удовлетворяют неравенствам

$$c_{min} \leq v_l(\omega) \leq c_\infty, \quad (4)$$

$$\frac{c_{min}^2}{v_l(\omega)} \leq w_l(\omega) \leq v_l(\omega) \quad (5)$$

и предельным соотношениям

$$v_l(\omega_l^{kp} + 0) = w_l(\omega_l^{kp} + 0) = c_\infty, \quad (6)$$

$$v_l(\infty) = w_l(\infty) = c_{min}, \quad (7)$$

где ω_l^{kp} - критическая частота l -й моды, т.е. $N(\omega_l^{kp} + 0) = l = N(\omega_l^{kp} - 0) + 1$.

Доказательства соотношений (4)-(7) приведены в Приложении. Там же показано, что неравенства (4)-(5) в определенном смысле неулучшаемы. Отметим еще, что из неравенств (5) следует, что функция $v_l(\omega)$ монотонно убывает с ростом ω .

Неравенства (4) и соотношение $v_l(\omega_l^{kp} + 0) = c_\infty$ давно известны в квантовой механике.

2. Результаты численного анализа

Численный анализ дисперсионных кривых был проведен для ряда кусочно-линейных функций $C^{-2}(z)$. Для профилей $C(z)$ такого вида вычисление собственных значений уравнения (3) сводится к решению

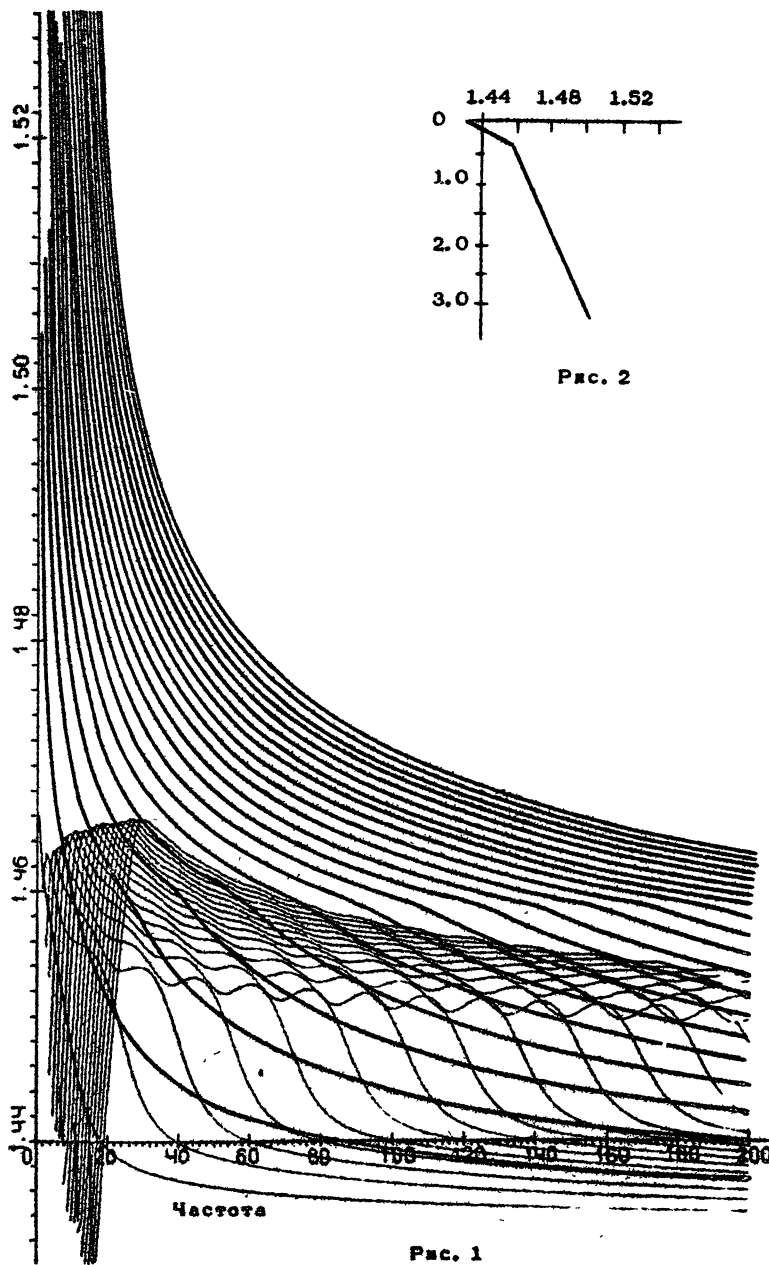
трансцендентного уравнения, содержащего только элементарные функции и функции Эйри. Вычисление функций Эйри с достаточно высокой точностью производилось с помощью рядов Ляка [7]. При вычислении групповой скорости W_l , были использованы явные формулы, выражавшие W_l в виде рациональной функции от функций Эйри и их производных, аргументы которых выражаются через ω и $K_l(\omega)$. Это позволило вычислить $W_l(\omega)$, избежав потери точности, происходящей при численном дифференцировании. На рис. 1 приведены графики функций $U_l(\omega), W_l(\omega)$ для $l = 1, 2, \dots$, рассчитанные для профиля $C^{-2}(z)$, изображенного на рис. 2. Этот профиль предложен в [8] в качестве модели зависимости скорости звука от глубины в полярном океане.

В соответствии с соотношениями (6), (7) значения групповых скоростей на частотах, близких к критическим, близки к C_∞ и приближаются к C_{\min} при больших ω . Следует также отметить наличие значений W_l , меньших чем C_{\min} .

В то же время на графиках функций $W_l(\omega)$ видно большое число локальных экстремумов и точек перегиба. Число таких особенностей примерно равно номеру моды. Такого же рода особенности видны на графиках функций $d^2 K_l(\omega)/d\omega^2$, приведенных на рис. 3.

Фазовые и групповые скорости могут быть вычислены в приближении ВКБ из условия квантования. Соответствующие графики для того же профиля $C^{-2}(z)$ приведены на рис. 4.

Следует отметить, что, в то время как кривые фазовых скоростей в приближении ВКБ практически совпадают с точными (относительная погрешность не превышает 10^{-5}), с кривыми групповых скоростей дело обстоит иначе: относительная погрешность достигает десятков процентов и, что более важно, у кривых для групповых скоростей в приближении ВКБ отсутствуют упоминавшиеся выше характерные детали.



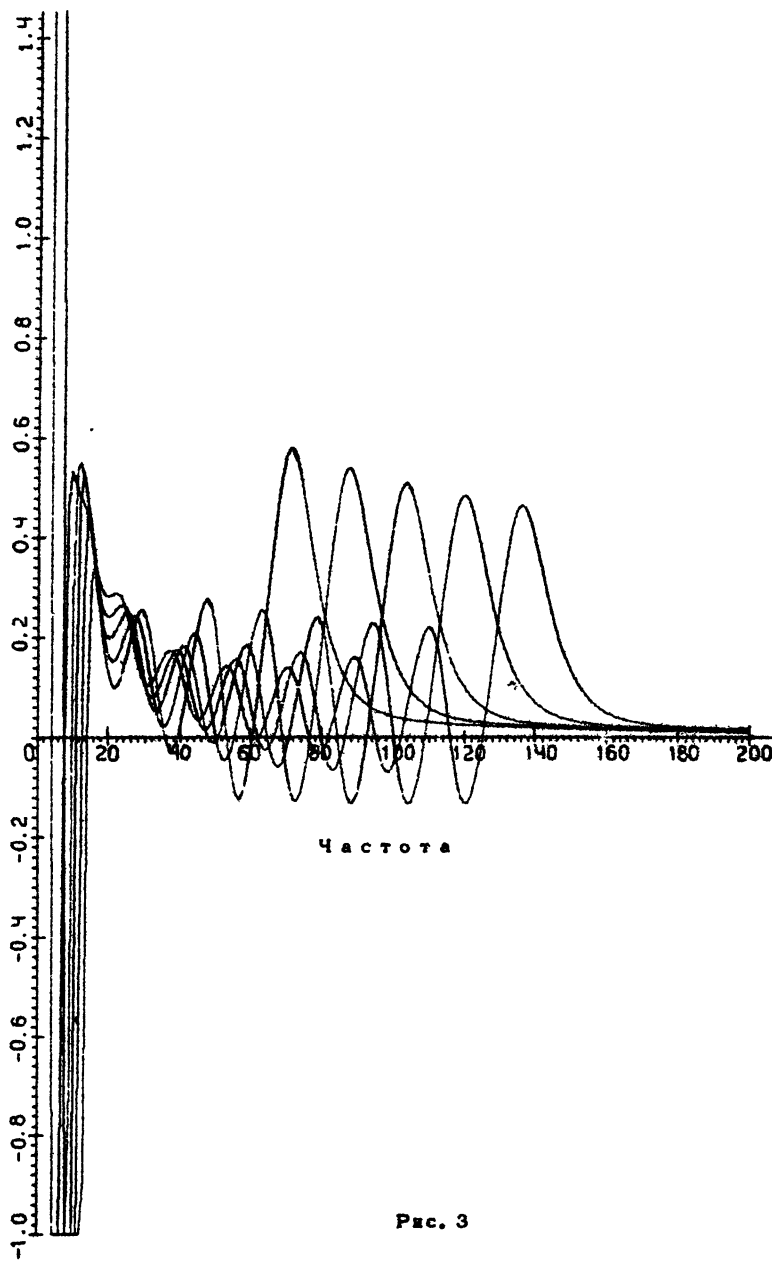
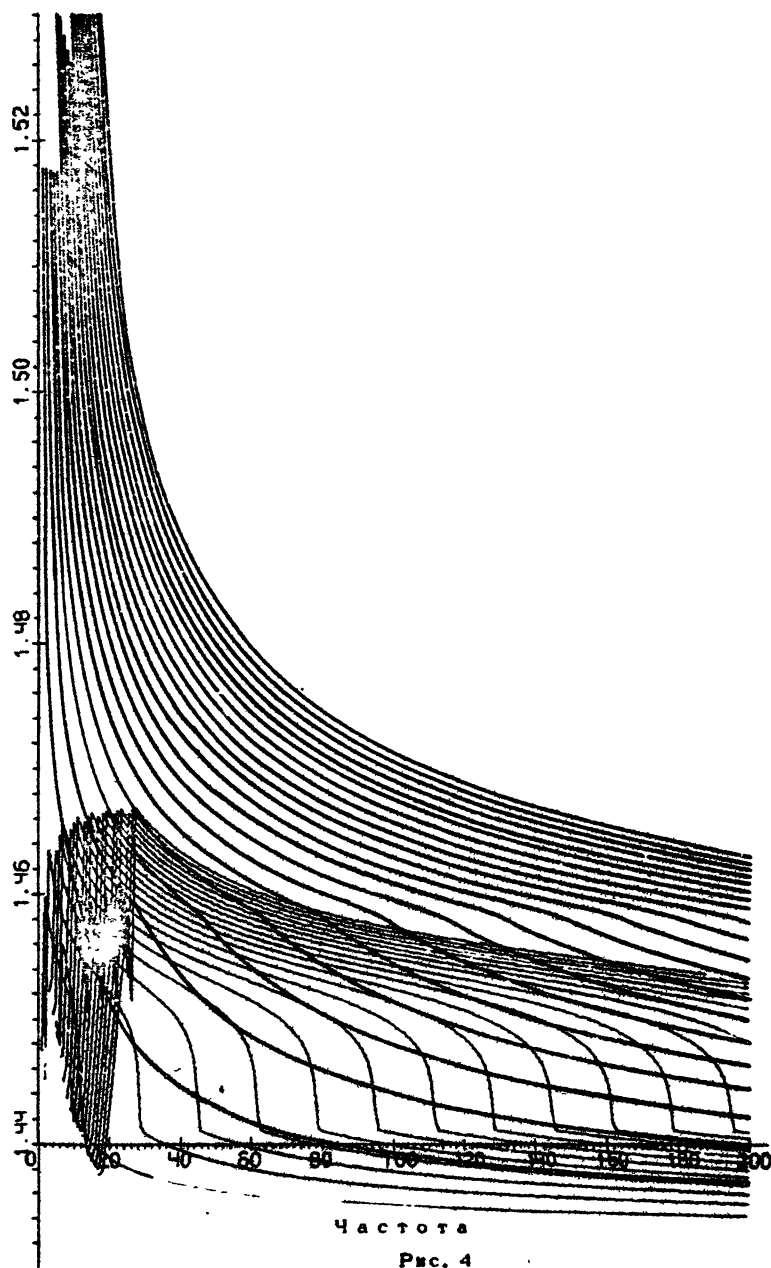


Рис. 3



Частота

Рис. 4

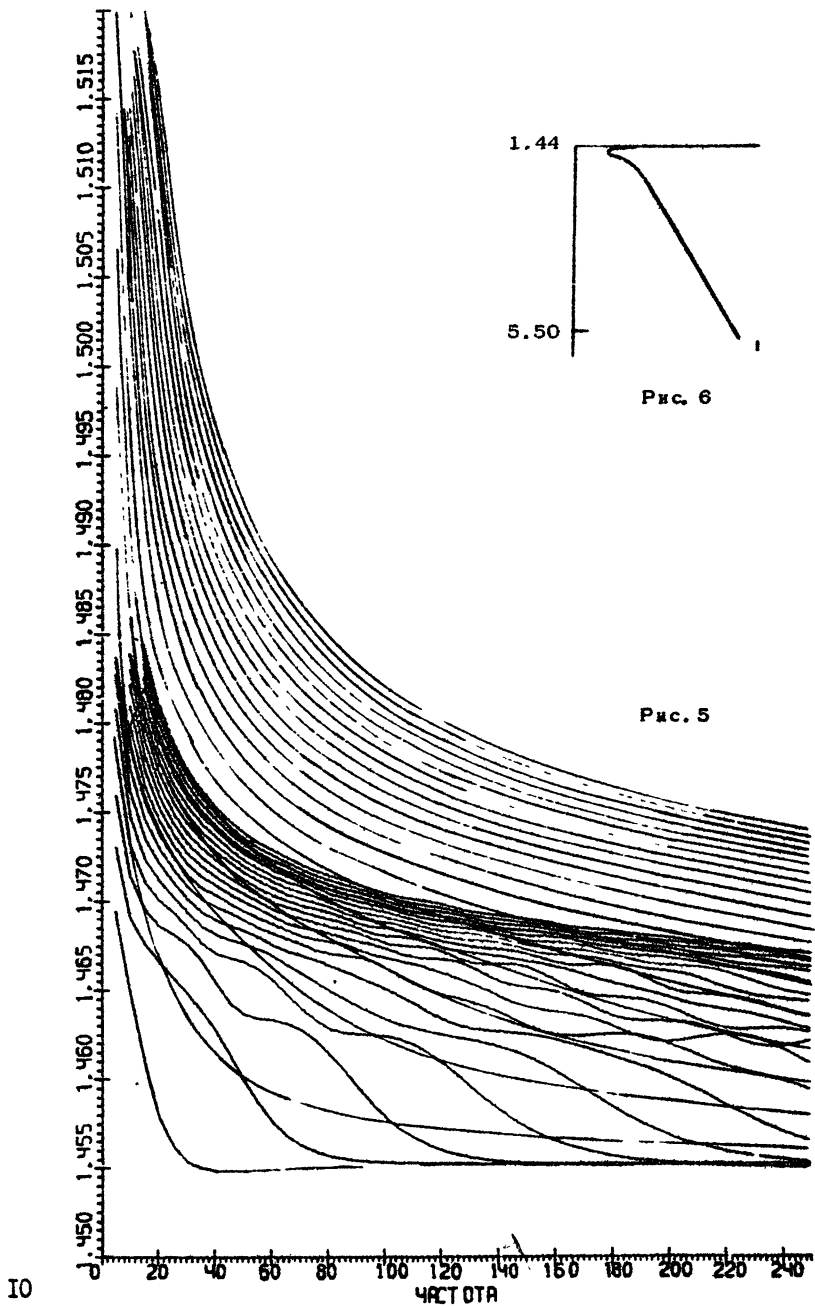


Рис. 6

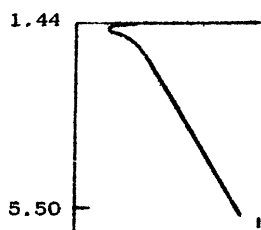


Рис. 5

На рис. 5 приведены кривые $U_1(\omega)$, $W_1(\omega)$ для профиля $C^{-2}(z)$, изображенного на рис. 6. Эти кривые обладают аналогичными особенностями.

Кроме того, следует обратить внимание на систематическое пересечение кривых для групповых скоростей соседних мод в области ω , где групповая скорость близка к C_{\min} .

3. Асимптотический анализ тонкой структуры дисперсионных кривых

Для простых кусочно-линейных профилей $C(z)$ тонкая структура дисперсионных кривых может быть детально изучена аналитическими средствами.

Рассмотрим сначала профиль $n^2(z) = C^{-2}(z)$ вида

$$n^2(z) = \begin{cases} n_1^2, & 0 \leq z \leq h \\ n_1^2 - p(z-h), & h \leq z \leq H \\ n_\infty^2, & z > H \end{cases},$$

где

$$n_1^2 > n_2^2 > n_\infty^2 > 0,$$

$$n_\infty^2 < n_2^2 - p(H-h), \quad p > 0, \quad H > h > 0.$$

$$\text{Положим } q^2 = n_1^2 - n_2^2, \quad \mu = q^2 / ph,$$

$$\theta_1 = \sqrt{n_1^2 - v_\nu^{-2}} \frac{\pi}{q}, \quad \Psi_1 = \sqrt{v_1^{-2} - n_\infty^2}, \quad m = \omega h q.$$

Собственная функция Φ_1 , отвечающая собственному значению $K_1(\omega)$, имеет вид

$$\varphi_l(z) = \begin{cases} \sin(\theta_l z / h) \\ B_l^1 A_l(S_l(z)) + B_l^2 B_l(S_l(z)), \quad h \leq z \leq H, \\ C_l e^{-(z-H)\omega\psi_l} \end{cases}$$

где $S_l(z) = S_l(z, \omega) = S_l(h) + (m^2/\mu)^{1/3}(z/h - 1)$,

$$S_l(h) = (\mu m)^{2/3} (1 - \theta_l^2/m^2).$$

Из условия непрерывности функций $\varphi_l(z)$, $\frac{\partial \varphi_l}{\partial z}$ вытекает дисперсионное уравнение $F(\theta_l, m) = 0$, где

$$F(\theta_l, m) = \begin{vmatrix} Bi(S_l(h)) \sin \theta_l - Bi(S_l(h)) \left(\frac{\mu}{m^2}\right)^{1/3} \theta_l \cos \theta_l, & Bi(S_l(H)) + Bi(S_l(H)) \left(\frac{\mu}{m^2}\right)^{1/3} \psi_l \\ Ai(S_l(h)) \sin \theta_l - Ai(S_l(h)) \left(\frac{\mu}{m^2}\right)^{1/3} \theta_l \cos \theta_l, & Ai(S_l(H)) + Ai(S_l(H)) \left(\frac{\mu}{m^2}\right)^{1/3} \psi_l \end{vmatrix}_{(e)}$$

и соотношение

$$C_l = \frac{Bi(S_l(h)) \sin \theta_l - \left(\frac{\mu}{m^2}\right)^{1/3} Bi(S_l(h)) \theta_l \cos \theta_l}{Bi(S_l(H)) + \left(\frac{\mu}{m^2}\right)^{1/3} Bi(S_l(H)) \psi_l}.$$

Можно показать, что

$$\int_h^H Q \varphi_l^2 dz = -\varphi_l \varphi_l' \Big|_h^H + \frac{Q}{3Q_z} (\varphi_l'^2 + Q \varphi_l^2) \Big|_h^H, \quad (9)$$

$$\int_h^H \varphi_l^2 dz = \frac{1}{Q_z} (\varphi_l'^2 + Q \varphi_l^2) \Big|_h^H, \quad (10)$$

где

$$Q = \omega^2 (n^2 - v_l^{-2}(\omega)).$$

Поэтому

$$\int_0^\infty Q \Psi_l^2 dz = \frac{Q(\hbar)}{3} \int_0^\infty \Psi_l^2 dz - \frac{1}{3\hbar} \left(2\theta_l^2 + \frac{m^2}{2} \right) \left(1 - \frac{\sin 2\theta_l}{2\theta_l} \right) - \\ - C_l^2 \frac{\Psi_l^2}{\hbar} \left(1 - \frac{\theta_l^2 - m^2}{3\Psi_l^2} \right),$$

$$\int_0^\infty \Psi_l^2 dz = \frac{\hbar}{2} \left(1 - \frac{\sin 2\theta_l}{2\theta_l} \right) + \frac{q^2}{2} \left(\frac{\theta_l^2}{m^2} - \sin^2 \theta_l \right) + C_l^2 \frac{\hbar}{2\Psi_l},$$

и, в силу соотношения (II.2),

$$W_l^{-1} = v_l^{-1} + v_l \frac{n_2^2 - v_l^{-2}}{3} + \\ + \frac{2\theta_l^2}{m^2} - \frac{1}{3} \left(4 \frac{\theta_l^2}{m^2} - 1 \right) \left(1 - \frac{\sin 2\theta_l}{2\theta_l} \right) - C_l^2 \frac{\Psi_l^2}{\hbar m^2} \left(1 + \frac{\theta_l^2 - m^2}{3\Psi_l^2} \right) \\ + v_l q^2 \frac{\left(1 - \frac{\sin 2\theta_l}{2\theta_l} \right) + 2\mu \left(\frac{\theta_l^2}{m^2} - \sin^2 \theta_l \right) + \frac{C_l^2}{\Psi_l^2}}{.$$

В п. 4 Приложения показано, что для любого натурального N и достаточно больших натуральных l можно выбрать величины ω_l^1, ω_l^2 так, что для всех ω из интервала (ω_l^1, ω_l^2) выполняются неравенства

$$|n_2^2 - v_l^{-2}(\omega)| \leq C_1 l^{-2/3}, \quad (II)$$

$$|W_l^{-1} - f_l^0| \leq C_2 l^{-2/3}, \quad (II)$$

где

$$f_l^0(\omega) = n_2 + \frac{q^2}{n_2(1 + \mu(1 + \cos 2\theta_l))},$$

причем функция $\theta_l(\omega)$ монотонно возрастает на этом интервале и

$$\theta_l(\omega_l^2) - \theta_l(\omega_l^1) \geq N\pi.$$

Отсюда следует, что в интервале (ω_1^1, ω_1^2) функция $\phi_1^0(\omega)$ совершает N колебаний с амплитудой $q_1^2 \mu (n_2(1+2\mu))^{-1}$ и периодом $\pi/\hbar q$. Согласно оценке (12) при достаточно больших b , функция $W_1^{-1}(\omega)$ также совершает в этом интервале не менее N колебаний, и, следовательно, имеет не менее $2N$ локальных экстремумов. Отметим, что величина H влияет лишь на значения b , при которых верны приведенные выше утверждения.

2. Рассмотрим теперь другую функцию $n^2(z)$, являющуюся непрерывной в отличие от изученной выше:

$$\tilde{n}_H^2(z) = \begin{cases} n_1^2 - p_1 z, & 0 \leq z \leq h \\ n_1^2 - p_1 h - p_2(z-h), & h < z \leq H \\ n_1^2 - p_1 h - p_2(H-h), & z > H, \quad p_1, p_2 > 0 \end{cases}$$

Заметим сразу же, что и в этом случае приближенные формулы для W_1 не содержат H и могут быть выведены при $H = \infty$. Мы воспользуемся этим для упрощения вычислений. Положим $n_\infty^2(z) = n^2(z)$, и пусть $\mu = p_1/p_2$. Заметим, что это определение величины μ согласуется с использовавшимся ранее, поскольку величину q^2/h можно понимать как среднее значение градиента функции $n^2(z)$ на интервале $0 \leq z \leq h$. Обозначим

$$S_1^1(z) = -\left(\frac{\omega}{p_1}\right)^{2/3} \left(n^2(z) - v_1^{-2}\right),$$

$$S_1^2(z) = -\left(\frac{\omega}{p_2}\right)^{2/3} \left(n^2(z) - v_1^{-2}\right).$$

Собственная функция $\psi_1(z)$, отвечающая собственному значению $\left(\frac{\omega}{v_1}\right)^2$, задается выражением

$$\varphi_l(z) = \begin{cases} B(S_l^1(0))A_l(S_l^1(z)) - A_l(S_l^1(0))B_l(S_l^1(z)), & 0 \leq z \leq h, \\ A_l(S_l^2(z)), & z > h \end{cases},$$

а дисперсионное уравнение, вытекающее из условия непрерывности функций φ_l и $\partial\varphi_l/\partial z$, имеет вид

$$A_l'(S_l^2(h))A - \mu^{1/3} A_l'(S_l^2(h))A_1 = 0,$$

где

$$A = B_l(S_l^1(0))A_l(S_l^1(h)) - A_l(S_l^1(0))B_l(S_l^1(h)),$$

$$A_1 = B_l(S_l^1(0))A_l(S_l^1(h)) - A_l(S_l^1(0))B_l(S_l^1(h)).$$

Применяя соотношения (9), (10), получим, что

$$\int_0^\infty \varphi_l^2(z) dz = \frac{B^2}{\pi^2(\omega p_1)^{1/3}} (1 + \pi^2(\mu-1)(A_1^2 - S_l^1(h)A^2))$$

$$\int_0^\infty (n^2(z) - v_l^{-2}) \varphi_l^2 dz = \frac{B^2}{\pi^2(\omega p_1)^{1/3}} \times$$

$$\times (n_1^2 - v_l^{-2} + \pi^2(\mu-1)(n^2(h) - v_N^{-2})(A_1^2 - S_l^1(h)A^2)).$$

Поэтому в силу (П2)

$$W_l^{-1} = v_l^{-1} + v_l \frac{n_2 - v_l^{-2}}{3} + v_l \frac{q_l^2}{3(1 + \pi^2(\mu-1)g_l(\omega))},$$

$$\text{где } g_l(\omega) = A_1^2 - S_l(\omega)A^2.$$

Выберем ω_l^2 из условия $v_l(\omega_l^2) = n_2^{-1} = n(h)^{-1}$. Такой выбор возможен при любом натуральном l , в силу монотонности $v_l(\omega)$ и равенства $v_l(0) = \infty$, $v_l(\infty) = n_1^{-1}$, которые доказываются аналогично (6), (7). Тогда $S_l^1(h, \omega_l^2) = S_l^2(h, \omega_l^2) = 0$ и $S_l^2(z) > 0$

при $z > h$. Поэтому функция $\varphi_l(z)$ не может иметь нулей при $z \geq h$, и все ее нули содержатся в интервале $(0, h)$. В силу осцилляционной теоремы (см. [II]) $\varphi_l(z)$ имеет l нулей, не считая $z=0$. Из перемежаемости нулей любых двух решений уравнения Эйри следуют теперь неравенства $(-\zeta_l - l - \text{ий нуль функции } Ai(-\zeta))$

$$\zeta_{l+1} < S_l^1(0, \omega_l^2) < \zeta_{l-1}. \quad (I4)$$

В силу известных асимптотических формул [5] $\zeta_l \approx -(3\pi l/2)^{2/3}$, и поэтому из (I4) следует, что

$$M_1 l^{2/3} \leq S_l^1(0, \omega_l^2) \leq M_2 l^{2/3} \quad (I5)$$

Пусть натуральное N меньше l . Выберем ω_l^1, v_l так, чтобы собственная функция $\varphi_l(z)$ имела $l-N-1$ нуль в интервале $(0, h)$ и $N+1$ нуль при $z \geq r$. Это потребует, чтобы выполнялось равенство

$$S_l^2(h, \omega_l^1) = 0. \quad (I6)$$

Тогда дисперсионное уравнение примет вид

$$G(S_l^1(0)) = Ai(\mu^{-2/3} \zeta_{N+1}) Bi(S_l^1(0)) - Bi(\mu^{-2/3} \zeta_{N+1}) Ai(S_l^1(0)) = 0$$

Пусть ζ_j , $j=1, 2, \dots$, отрицательные корни функции $G(\zeta)$, занумерованные в порядке убывания. Тогда для некоторого M выполняется

равенство

$$\mu^{-2/3} \varsigma_{n+1} = \sigma_m. \quad (18)$$

В качестве $\omega_l^1, v_l^1(\omega_l^1)$ возьмем решение системы уравнений

$$-\left(\frac{\omega_l^1}{p_2}\right)^{2/3}(n_2^2 - v_l^{-2}(\omega_l^1)) = \varsigma_{n+1}, \quad (19)$$

$$-\left(\frac{\omega_l^1}{p_1}\right)^{2/3}(n_1^2 - v_l^{-2}(\omega_l^1)) = \sigma_{m+l-n}. \quad (19)$$

Тогда

$$v_l^{-2}(\omega_l^1) = \frac{\mu^{2/3} n_2^2 p_1 - n_1^2}{p_1 \mu^{2/3} - 1}, \quad p_1 = \frac{\sigma_{m+l-n}}{\varsigma_{n+1}}, \quad (20)$$

а значит

$$v_l^{-2}(\omega_l^1) - n_2^2 = \frac{q_l^2}{1 - \mu^{2/3} p_1} < 0,$$

если l достаточно велико и, следовательно, $\omega_l^1 < \omega_l^2$. В интервале $(0, h)$ функция $S_l^1(z, \omega_l^1)$ монотонно изменяется от σ_m до σ_{m+l-n} и, следовательно, в силу теоремы о перепечаленности нулей, функция $\Phi_l(z, \omega_l^1)$ имеет в интервале $(0, h)$ $l-N-1$ нуль, и, таким образом, $\omega_l^1, v_l^1(\omega_l^1)$ удовлетворяют указанным выше условиям. Из соотношения (19) следует, что $S_l^1(0, \omega_l^1)$ удовлетворяет оценке

$$M_3 l^{2/3} \leq S_l^1(0, \omega_l^1) \leq M_4 l^{2/3},$$

аналогичной (I5), и поэтому, в силу монотонности $S_1'(0, \omega)$ как функции ω , такая же оценка имеет место для всех ω из интервала (ω_1^1, ω_1^2) . Из соотношения (20) и монотонности $U_1(\omega)$ следует неравенство

$$|v_1^{-2} - n_2^2| \leq \frac{q^2}{\mu^{2/3} p_1^{-1}} < C_3 (\mu l)^{-2/3} \quad (21)$$

Используя соотношение (I3), получим отсюда

$$|w_1^{-1} - f_1^1| \leq C_4 (\mu l)^{-2/3}, \quad (22)$$

где

$$f_1^1(\omega) = n_2 + \frac{q^2}{3n_2(1 + \pi^2(\mu - 1)g_1(\omega))},$$

а функция g_1 определена соотношением (I3).

Для функций Эйри имеют место асимптотические формулы [5]

$$\begin{aligned} Ai(-z) &= \pi^{-1/2} |z|^{-1/4} \left(\sin\left(\frac{2}{3}|z|^{3/2} + \frac{\pi}{4}\right) + O(|z|^{-2}) \right), \\ Bi(-z) &= \pi^{-1/2} |z|^{-1/4} \left(\cos\left(\frac{2}{3}|z|^{3/2} + \frac{\pi}{4}\right) + O(|z|^{-2}) \right), \end{aligned} \quad z > 0, \quad (23)$$

постому

$$g_1(\omega) = \frac{G_0(\omega) + G_1(\omega) \cos(\theta_1(\omega) + \psi(\omega)) + O(l^{-3/2})}{2\pi |S_1'(0, \omega)|^{1/2}},$$

где

$$\begin{aligned} G_0(\omega) &= \frac{1}{2} (Ai'^2(\tau) + Bi'^2(\tau) - \tau(Ai'^2(\tau) + Bi'^2(\tau))), \\ G_1(\omega) &= ((Ai'(\tau)Bi'(\tau) - \tau Ai(\tau)Bi(\tau)) + \\ &+ \frac{1}{4} (Ai'^2(\tau) - Bi'^2(\tau) - \tau(Ai'^2(\tau) - Bi'^2(\tau)))^2)^{1/2}, \\ \sin \psi &= G_1^{-1} (Ai'(\tau)Bi'(\tau) - \tau Ai(\tau)Bi(\tau)), \\ \theta_1 &= \frac{2}{3} |S_1'(0, \omega)|^{3/2} + \frac{\pi}{4}, \quad \tau = S_1'(h, \omega). \end{aligned}$$

Заметим, что в силу (16) и определения ω_1^2 величина τ принимает значения из интервала $(\mu^{-2/3} \zeta_{N+1}, 0)$, когда ω изменяется от ω_1^1 до ω_1^2 .

Выбирая μ настолько большим, чтобы величина $\mu^{-2/3} |\zeta_{N+1}|$ была достаточно мала, мы можем добиться выполнения соотношений

$$\begin{aligned} |G_1(\omega) - G_1(\omega_1^2)| &< \varepsilon, \\ |G_0(\omega) - G_0(\omega_1^2)| &< \varepsilon, \\ |\Psi(\omega) - \Psi(\omega_1^2)| &< \varepsilon \pi, \end{aligned} \quad (24)$$

и, в силу (18), $M = 0$, причем ε зависит лишь от μ и N и стремится к нулю при $\mu \rightarrow \infty$. Отметим, что

$$G_1(\omega_1^2) = G_0(\omega_1^2) = 2A\mu^{1/2}(0). \quad (25)$$

В силу (23)-(25) функция $f_1^1(\omega)$ при всех достаточно больших μ имеет в интервале (ω_1^1, ω_1^2) не менее $2N$ локальных экстремумов. Так как в силу (23) и (15) при достаточно больших μ амплитуда колебаний функции $f_1^1(\omega)$ не меньше чем $C_5 \mu^{-1/2}$, то из оценки (22) следует, что и функция $W_1(\omega)$ имеет не менее $2N$ локальных экстремумов в указанном интервале.

Отметим, что из (23) вытекает простая приближенная формула для функции $W_1(\omega)$:

$$W_1^{-1} = n_2 + \frac{\eta^2}{3n_2 [1 + \pi^2(\mu - 1) g_1^0(\omega)]}, \quad (26)$$

где

$$g_l^0(\omega) = \frac{A_l^{1/2}(0)}{\pi |S_l^1(0, \omega)|^{1/2}} \left(1 + \cos(\theta_l(\omega)) - \frac{\pi}{6} \right).$$

Сколь угодно малым изменением функции $n_{\infty}^2(z)$, можно сделать ее бесконечно дифференцируемой. Применяя теорему о возмущении собственных значений [9], получаем отсюда, что для любых натуральных N существует гладкая функция $n^2(z)$, такая, что, по крайней мере, M функций $W_{l+1}(\omega), \dots, W_{l+m}(\omega)$ имеют для некоторого l не менее $2N$ локальных экстремумов в соответствующих интервалах $(\omega_{l+k}^1, \omega_{l+k}^2)$, $k = 1, \dots, M$.

Так как из (I5) и (I9) следует, что $\omega_l^1 \sim C_1 l$, $\omega_l^2 = C_2 l$ и $l \rightarrow \infty$, то приближенная формула (26) также, как и (I2) для $\partial K_l(\omega)/\partial \omega$, $\omega_l^1 < \omega < \omega_l^2$, представляет собой пример так называемой промежуточной асимптотики.

ПРИЛОЖЕНИЕ

I. Докажем сначала неравенства (4). Из вариационного принципа следует, что собственные числа κ_1^2 дискретного спектра уравнения (3) удовлетворяют неравенствам

$$\frac{\omega^2}{C_\infty^2} \leq \kappa_1^2 \leq \sup_{\psi \neq 0} \frac{\left(\frac{\omega^2}{C^2(z)} \psi_1, \psi_1 \right)}{(\psi_1, \psi_1)},$$

где $(\varphi, \psi) = \int_0^\infty \varphi(z) \psi(z) dz$. Отсюда

следует, что $\omega^2 / C_\infty^2 < \kappa_1^2 \leq \omega^2 / C_{\min}^2$,
т.е. имеют место неравенства (4).

Для того, чтобы доказать неравенства (5), воспользуемся известным в теории возмущений соотношением (см. [9])

$$\frac{d\kappa_1^2}{d\omega^2} = \left(\frac{1}{C^2} \psi_1, \psi_1 \right), \quad (\text{II.1})$$

из которого следует, что

$$W_1(\omega) = \frac{1}{v_1(\omega) \left(\frac{1}{C^2} \psi_1, \psi_1 \right)}, \quad (\text{II.2})$$

и, так как в силу уравнения (3)

$$(C^{-2} \psi_1, \psi_1) = \frac{1}{\omega^2} (\kappa_1^2 - (\psi_1'', \psi_1)) =$$

$$= \frac{1}{\omega^2} (\kappa_1^2 + (\psi_1', \psi_1')) \geq \kappa_1^2 / \omega^2,$$

то $d\kappa_1^2 / d\omega \geq \kappa_1 / \omega$, т.е. $W_1(\omega) \leq v_1(\omega)$.

Из (II.2) следует, что

$$W_l(\omega) \geq \frac{1}{v_l(\omega) \frac{1}{C_{\min}^2}} = \frac{C_{\min}^2}{v_l(\omega)}.$$

2. Докажем теперь соотношения (6), (7). Пусть $\tilde{\psi}_l$ — собственная функция уравнения (3) такая, что $\tilde{\psi}_l(\omega, H) = 1$. Тогда при $z \geq H$ $\tilde{\psi}_l(\omega, z) = \exp \left[(H-z) \sqrt{K_l^2(\omega) - \omega^2/C_\infty^2} \right]$, и если обозначить $I_l = \int_0^\infty \tilde{\psi}_l^2(\omega, z) dz$, $J_l = \int_0^\infty \tilde{\psi}_l^2(\omega, z) C^{-2}(z) dz$, то в силу соотношения (II.2)

$$W_l(\omega) = \frac{I_l + \frac{1}{\sqrt{K_l^2(\omega) - \omega^2/C_\infty^2}}}{v_l(\omega) \left[J_l + \frac{1}{C_\infty^2} \frac{1}{\sqrt{K_l^2(\omega) - \omega^2/C_\infty^2}} \right]}.$$

Интеграл J_l при $\omega \rightarrow \omega_l^{kp}$ остается равномерно ограниченным в силу непрерывной зависимости решения уравнения (3) на интервале $(0, H)$ от параметра ω . А так как $\lim_{\omega \rightarrow \omega_l^{kp}} K(\omega) = (\omega_l^{kp}/C_\infty)$,

то

$$\lim_{\omega \rightarrow \omega_l^{kp}} W_l(\omega) v_l(\omega) = C_\infty^2.$$

Применяя теперь (4), (5), получим (6).

Докажем теперь, что

$$v_l(\infty) = C_{\min}.$$

Так как K_l^2 — собственные числа, пронумерованные в порядке возрастания, то достаточно показать, что для любого $\epsilon > 0$ найдутся ψ_1, \dots, ψ_l , $(\psi_k, \psi_j) = \delta_{kj}$, $j = 1, \dots, l$.

$$\text{такие, что } \frac{(\psi''_l, \psi_l) + \omega^2 (\frac{1}{C^2} \psi_l, \psi_l)}{\omega^2} \geq \frac{1}{C_{\min}^2} - \varepsilon$$

при достаточно больших ω [10]. Но из непрерывности $C(z)$ следует, что для любого l , найдется l непересекающихся областей D_1, \dots, D_l , таких, что $C(z) - C_{\min} < \varepsilon/2$ для z , принадлежащих этим областям. В качестве пробной функции ψ_k , $k = 1, \dots, l$, можно взять гладкую функцию, равную нулю, вне D_l и такую, что $(\psi_l, \psi_l) = 1$. Тогда при достаточно больших ω в силу теоремы о среднем

$$\frac{(\psi''_l, \psi_l) + \omega^2 (\frac{1}{C^2} \psi_l, \psi_l)}{\omega^2} > \frac{1}{C_{\min}^2} - \varepsilon.$$

Равенство $W_l(\infty) = C_{\min}$ следует теперь из неравенства (5).

3. Из соотношений (6) и (7) вытекает, что неравенства (4) и правое из неравенств (5) нельзя улучшить, заменив C_{\min} , C_∞ и $V_l(\omega)$ на какие-либо другие константы. Покажем теперь, что левое из неравенств (5) также неулучшаемо. Для этого рассмотрим модель Пекериса:

$$C(z) = \begin{cases} C_{\min}, & 0 \leq z \leq H \\ C_\infty, & z > H \end{cases}.$$

Покажем, что для любого достаточно малого $\varepsilon > 0$ найдется l и ω такие, что

$$W_l(\omega) \leq \frac{C_{\min}^2}{C_\infty} (1 + \varepsilon).$$

Для этого воспользуемся тем, что в силу соотношения (6) найдется последовательность ω_l , такая, что $V_l(\omega_l) = C_\infty (1 - \varepsilon/2)$

и $\lim_{l \rightarrow \infty} \omega_l = \infty$. Собственные функции $\varphi_l(z)$ в данном случае имеют вид

$$\varphi_l(z) = \begin{cases} a_l \sin(\sqrt{v_l^{-2} - C_{\min}^{-2}} \omega_l z), & 0 < z < H \\ a_l \sin(\sqrt{v_l^{-2} - C_{\min}^{-2}} \omega_l) \exp[-\sqrt{C_{\infty}^{-2} - v_l^{-2}}(z-H)], & z > H \end{cases} \quad (\text{II.3})$$

и поэтому, в силу соотношения (II.2)

$$W_l = \frac{I_1^l + I_2^l}{v_l(\omega) \left(\frac{1}{C_{\min}^2} I_1^l + \frac{1}{C_{\infty}^2} I_2^l \right)},$$

$$\text{где } I_1^l = \int_0^H |\varphi_l(z)|^2 dz, \quad I_2^l = \int_H^\infty |\varphi_l(z)|^2 dz.$$

Обозначим $\alpha_l = I_2^l / I_1^l$. Тогда

$$W_l(\omega_l) = \frac{1 + \alpha_l}{C_{\infty} \left(1 - \frac{\varepsilon}{2} \right) \left(\frac{1}{C_{\min}^2} + \frac{\alpha_l}{C_{\infty}^2} \right)}.$$

Из соотношений (II.3) следует, что

$$\alpha_l = \frac{2 \sin \sqrt{v_l^{-2} - C_{\min}^{-2}} \omega_l H}{\omega_l \sqrt{C_{\infty}^{-2} - v_l^{-2}} \left(\frac{H}{2} - \frac{\sin^2 \omega_l H \sqrt{v_l^{-2} - C_{\min}^{-2}}}{4 \omega_l \sqrt{v_l^{-2} - C_{\min}^{-2}}} \right)}$$

и так как $v_l^2(\omega_l) = (1 - \varepsilon/2) C_{\infty}^2$, то $\alpha_l \rightarrow 0$
при $l \rightarrow \infty$, следовательно, для любого $\varepsilon > 0$

$$W_l(\omega_l) < C_{\min}^2 / C_{\infty} + \varepsilon,$$

если l достаточно велико.

4. Покажем, что для достаточно больших l величины ω_1^1, ω_1^2 можно выбрать так, чтобы для всех ω из интервала (ω_1^1, ω_1^2) выполнялись неравенства (II), (I2). Для этого воспользуемся вспомогательным дисперсионным уравнением

$$F^0(\theta, m) = Ai'(S_l(\zeta_l)) \sin \theta_l^0 + \left(\frac{\mu}{m^2} \right)^{1/3} \theta_l^0 \cos \theta_l^0 Ai(S_l(\zeta_l)) = 0,$$

которое совпадает с дисперсионным уравнением рассматриваемой задачи при $H = \infty$. В этом случае соотношение (8) принимает вид

$$\Phi_l(z) = \begin{cases} \sin \frac{\theta_l}{\hbar} z, & 0 \leq z \leq \hbar \\ Ai(S_l(z)), & z > H \end{cases}.$$

Так как $n_1 \geq v_l(\omega) \geq n_\infty$ и $v_l(\omega)$ монотонна, то можно выбрать так, что $v_l(\omega_l^2) = h^{-1}$. Тогда $\theta_l^0(\omega_l^2) = m(\omega_l^2)$ и, следовательно, θ_l^0 является решением уравнения $\operatorname{tg} \theta_l^0 = \mu^{1/3} \frac{Ai(0)}{Ai'(0)} \theta_l^0$, которое имеет в точности одно решение в каждом интервале $(k\pi, (k+1)\pi)$, $k = 1, 2, \dots$. В силу осцилляционной теоремы [II] $\Phi_l(\omega_l^2, z)$ имеет в точности l нулей, не считая $z=0$, и, поскольку $n(z) \leq n_2$ при $z > \hbar$, эти нули содержатся внутри интервала $(0, \hbar)$. Учитывая (4), заключаем, что $[\theta_l(\omega_l^2)/\pi] = l$. В качестве ω_l^1 возьмем решение уравнения

$$(\omega \hbar q \mu)^{2/3} \left(1 - \frac{\pi^2 (l-N)^2}{(\omega \hbar q)^2} \right) = \zeta_{N+1}, \quad (\text{II.4})$$

где $\{\zeta_k\}$ последовательность отрицательных корней функции $Ai(z)$ пронумерованных в порядке убывания. При выполнении последнего соотношения дисперсионное уравнение (8) сводится к уравнению

$\sin \theta_1^0 = 0$. Из этого же соотношения следует, что $\theta_1^0 = \pi(1 - N)$ удовлетворяет вспомогательному дисперсионному уравнению при $\omega = \omega_1^1$, а соответствующая собственная функция имеет при $z > f_1$ в точности N_0 нулей. Следовательно, $\theta_1^0 = \theta_1^0(\omega_1^1)$. Покажем теперь, что

$$|\theta_1(\omega_1^1) - \theta_1^0(\omega_1^1)| < M e^{-\gamma \omega_1^1}, \quad (\text{П.5})$$

$$|\theta_1(\omega_1^2) - \theta_1^0(\omega_1^2)| < M e^{-\gamma \omega_1^2},$$

где $M, \gamma > 0$, $\omega_1^1 < \omega < \omega_1^2$.

Для этого воспользуемся неравенствами для функций Эйри, вытекающими из известных асимптотических разложений (см. [5])

$$|Ai(z)| \leq g, \quad -\infty < z < \infty,$$

$$|Ai'(z)| \leq g |z|^{1/4}, \quad -\infty < z < \infty,$$

$$g/2(1+z)^{-1/4} e^z \leq Bi(z) \leq g z^{-1/4} e^z, \quad z > 0,$$

$$|Bi(z)| \leq g z^{1/4}, \quad z < 0,$$

$$\frac{g}{2} z^{1/4} e^z \leq Bi'(z) \leq g(1+z)^{1/4} e^z, \quad z > 0, \quad Bi(z) \leq g |z|^{-1/4}, \quad z < 0$$

где $g > 0$.

Функция $\theta_1^2(\omega)/m^2 - 1 = \frac{n_2^2 - v_1^{-2}}{q^2}$ монотонно убывает, равна

нулю при $S_1^1(\omega) = 0$, поэтому $S_1^1(\omega) < 0$ при $\omega < \omega_1^2$

С другой стороны, в силу (П.4) при $\omega_1^1 < \omega < \omega_1^2$,

$$\left| \frac{n_2^2 - v_1^{-2}(\omega)}{q^2} \right| \leq \zeta_{N_0+1} \varepsilon_{1-N}, \quad \varepsilon_1 = (\pi l)^{-1/3} \quad (\text{П.6})$$

и поэтому $(v_1^{-2} - n^2(H-0)) / \rho h > \gamma > 0$

при $\omega_1^1 < \omega < \omega_1^2$. Следовательно,

$$S_1(H) = \left(\frac{m^2}{\mu}\right)^{1/3} \frac{(v_1^{-2}(\omega) - n_2^2 + \rho(H-h))}{\rho h} = \\ = \left(\frac{m^2}{\mu}\right)^{1/3} \frac{(v_1^{-2}(\omega) - n^2(H-0))}{\rho h} > \gamma \left(\frac{m^2}{\mu}\right)^{1/3}$$

при $\omega_1^1 \leq \omega \leq \omega_1^2$. Отсюда следует, что при некотором b_1 ,

$$|F(\theta, m) - F^0(\theta, m)| \leq b_1 e^{-\gamma \omega}, \quad \omega_1^1 \leq \omega \leq \omega_1^2. \quad (\text{II.7})$$

Покажем теперь, что дисперсионное уравнение (8) при $\omega_1 = \omega_1^1$ и $\omega = \omega_1^2$ имеет корни θ^1 и θ^2 соответственно, такие, что

$$|\theta_1^0(\omega_1^1) - \theta^1| < c_1 e^{-\gamma \omega_1^1}, \\ |\theta_1^0(\omega_1^2) - \theta^2| < c_1 e^{-\gamma \omega_1^2}, \quad (\text{II.8})$$

для этого заметим, что при больших m

$$\left| \frac{\partial F^0}{\partial \theta} \right|_{\theta=\theta_1^0(\omega_1^1), m=m(\omega_1^1)} = |Ai'(\zeta_{N+1}) + O(m^{-2/3})| > b_2 > 0.$$

При $\omega = \omega_1^2$ из (II.8) следует, что

$$\cos^2 m = 1 / (1 + \beta^2 m^2), \quad \beta = \mu^{1/3} Ai(0) / Ai'(0)$$

и, следовательно,

$$\left| \frac{\partial F^0}{\partial \theta} \right|_{\theta=\theta_1(\omega_1^2), m=m(\omega_1^2)} = |Ai'(0) + O(m^{-2/3})| > b_2 > 0.$$

Поэтому из неравенства (П.7) следует, что существуют корни θ^1, θ^2 дисперсионного уравнения $F(\theta, m) = 0$, удовлетворяющие неравенствам (П.8).

Покажем теперь, что $\theta^1 = \theta_1(\omega_1^1)$, $\theta^2 = \theta_1(\omega_1^2)$.

Для этого рассмотрим собственные функции $\varphi^1(z)$, $\varphi^2(z)$, отвечающие собственным значениям $K(\theta^1)$, $K(\theta^2)$. Так как

$$B_1^2 = \pi \left(Ai'(S_1(h)) + \left(\frac{\mu}{m^2}\right)^{1/3} Ai(S_1(h)) \psi_1 \right) \cdot \\ \times \frac{Bi'(S_1(h)) \sin \theta_1 - Bi(S_1(h)) \left(\frac{\mu}{m^2}\right)^{1/3} \theta_1 \cos \theta_1}{Bi'(S_1(h)) + Bi(S_1(h)) \left(\frac{\mu}{m^2}\right)^{1/3} \psi_1},$$

то из неравенств (П.8) следует, что

$$|B_1^2| < e^{-\delta \omega}, \quad \omega_1^1 \leq \omega \leq \omega_1^2$$

и поэтому

$$|\varphi_j^0(z) - \varphi_j^0(z, \omega_1^j)| < b e^{-\delta \omega_1^j}, \quad j=1,2, \quad 0 \leq z \leq h.$$

Все нули функций $\varphi^1, \varphi^2, \varphi_1^0$ содержатся внутри интервала $(0, h)$ и максимальное значение модуля функции φ_1^0 на интервале между двумя любыми нулями не меньше, чем $1 + O(\omega^{-1})$ на интервале $(0, h)$ и не меньше чем $C_1 \omega^{-2/3}$ на интервале (h, H) . Поэтому, учитывая неравенства (П.7), мы можем заключить, что функции $\varphi^1, \varphi^2, \varphi_1^0$

имеют одинаковое число нулей, и, следовательно, $\theta^1 = \theta_1(\omega_1^1)$, $\theta^2 = \theta_1(\omega_1^2)$.

Заметим, что $\omega_1^2 > \omega_1^1$ поскольку

$$\frac{d\theta_1}{d\omega} = f_1 - \frac{n_1^2 - (v_1 w_1)^{-1}}{\sqrt{n_1^2 - v_1^{-2}}} \geq 0$$

в силу неравенства (5) и

$$\theta_1(\omega_1^2) \geq 1\pi \geq (1-N_0^\circ)\pi = \theta_1(\omega_1^1).$$

Докажем теперь неравенство (12). Для этого обозначим

$$A_1^0 = q_1^2, \quad B_1^0 = n_2, \quad E_1^0 = 1 + \mu(1 + \cos 2\theta_1), \quad D_1^0 = n_2,$$

$$A_1 = q_1^2 \left(2 \frac{\theta_1^2}{m^2} - \frac{1}{3} \left(4 \frac{\theta_1^2}{m^2} - 1 \right) \left(1 - \frac{\sin 2\theta_1}{2\theta_1} \right) - C_1^2 \frac{\psi_1^2}{m^2} \left(1 + \frac{\theta_1^2 - m^2}{3\psi_1^2} \right) \right)$$

$$B_1 = v_1^{-1}, \quad E_1 = 1 - \frac{\sin 2\theta_1}{2\theta_1} + \frac{C_1^2}{\psi_1^2} + 2\mu \left(\frac{\theta_1^2}{m^2} - \sin^2 \theta_1 \right),$$

$$D_1 = v_1^{-1} + v_1 \frac{n_2^2 - v_1^{-2}}{3}.$$

Тогда

$$f_1^0(\omega) = \frac{A_1^0}{B_1^0 E_1^0} + D_1^0, \quad W_1^{-1}(\omega) = \frac{A_1}{B_1 E_1} + D_1$$

и поэтому

$$|W_1^{-1} - f_1^0| \leq |D_1 - D_1^0| + \left| \frac{A_1}{B_1} \right| \frac{|E_1 - E_1^0|}{|E_1 E_1^0|} +$$

$$+ \left| \frac{A_l}{E_l^0} \right| \left| \frac{|B_l - B_l^0|}{|B_l B_l^0|} \right| + \left| \frac{A_l - A_l^0}{E_l^0 B_l^0} \right|.$$

Оценим теперь величины

$$|D_l - D_l^0|, |E_l - E_l^0|, |B_l - B_l^0|, |A_l - A_l^0|.$$

Так как $\theta_l/m = \sqrt{n_1^2 - v_l^{-2}}$ — монотонно убывающая функция и $\theta_l(\omega_l^2)/m(\omega_l^2) = 1$, то

$$\left| \frac{\theta_l(\omega)}{m(\omega)} - 1 \right| \leq \left| \frac{\theta_l(\omega_l^1)}{m(\omega_l^1)} - 1 \right| \quad \text{при } \omega_l^1 \leq \omega \leq \omega_l^2$$

и в силу неравенства (II.6)

$$\left| \frac{\theta_l(\omega)}{m(\omega)} - 1 \right| \leq |\varsigma_{N+1}| \varepsilon_{l-N}.$$

Отсюда следует, что

$$|v_l^{-1} - n_2| \leq \frac{1}{v_l^{-1} + n_2} |v_l^{-2} - n_2^2| = \frac{q^2}{v_l^{-1} + n_2} \left| 1 - \frac{\theta_l^2}{m^2} \right| \leq \frac{q^2}{n_2} |\varsigma_N| \varepsilon_{l-N} \quad (\text{II.9})$$

и поэтому

$$|D_l - D_l^0| = \left| n_2 - v_l^{-1} + v_l \frac{n_2^2 - v_l^{-2}}{3} \right| \leq C_3 \varepsilon_{l-N}.$$

Далее, учитывая, что

$$|c_l| \leq C_3 e^{-\delta \omega},$$

получим, что

$$|E_l - E_l^0| \leq \left| \frac{\sin 2\theta_l}{2\theta_l} \right| + 2\mu \left| \frac{\theta_l^2}{m^2} - 1 \right| + \frac{C_l^2}{\Psi_l} \leq C_4 \varepsilon_{l-N}.$$

Из (II.9) следует, что

$$|B_l - B_l^0| = |v_l^{-1} - n_2| < \frac{q^2}{n_2} |\zeta_{N+1}| \varepsilon_{l-N}$$

и, наконец,

$$\begin{aligned} |A_l - A_l^0| &\leq q^2 \left| 1 - 2 \frac{\theta_l^2}{m^2} + \frac{1}{3} \left(4 \frac{\theta_l^2}{m^2} - 1 \right) \left(1 - \frac{\sin 2\theta_l}{2\theta_l} \right) \right| + \\ &+ q^2 C_l^2 \frac{\Psi_l^2}{m^2} \left(1 + \frac{\theta_l^2 - m^2}{3\Psi_l^2} \right) \leq q^2 \left| 1 - \frac{\theta_l^2}{m^2} \right| + \\ &+ O(\theta_l^{-1}) + O(C_l^2) \leq C_5 \varepsilon_{l-N}. \end{aligned}$$

Л и т е р а т у р а

1. Бреховских Л.М. Волны в слоистых средах. - М.: АН СССР, 1957.
2. Толстой И., Клей К.Акустика океана. - М.: Мир, 1969.
3. Вагин А.В., Мальцев Н.Е. Расчеты низкочастотных звуковых полей в слоистом океане. Вопр.Судостр.,сер. Акустика, 1977, в.9,с.61-80.
4. Антонец М.А., Жислин Г.М., Шереметский И.А. О дискретном спектре гамильтониана квантовой системы N частиц. - Теор. и мат. физика, 1973, т. 16, № 2, с. 235-246.
5. Абрамович, Стиган Специальные функции. - М.: Мир, 1978.
6. Simon B. Semiclassical analysis of low lying eigenvalues, II. Ann.of Phys., 1984, v.158, N 3, 415-420.
7. Люк Ю. Специальные математические функции и их применения. - М. : Мир, 1980.
8. Де Санто. Акустика океана. - М.: Мир, 1982.
9. Като Т. Теория возмущений линейных операторов.-М.:Мир, 1972.
10. Kato T. On the existence of solution of the helium wave equation. Trans.Amer.Math.Soc., 1951, v.70, 212-219.
- II. Аткинсон Ф. Дискретные и непрерывные граничные задачи.-М.:Мир, 1968.

Дата поступления статьи
18 июля 1986 года

Михаил Александрович Антонец
Илья Аронович Шерешевский
Людмила Владимировна Шерстнева

ТОНКАЯ СТРУКТУРА ДИСПЕРСИОННЫХ КРИВЫХ
ДЛЯ ВОЛН В СЛОИСТОЙ СРЕДЕ

Подписано в печать 5.08.86 г. МЦ 00576 . Формат 60x84/16
Бумага множительная. Печать офсетная. Объем 2 усл. печ. л.
Тираж 120. Заказ 4462. Бесплатно.
